• 艾滋病影像学专题 •

艾滋病相关性肺结核 PET/CT 表现

李莉,李宏军

【摘要】目的:探讨 AIDS 合并肺结核 PET/CT 表现。方法:对 4 例 AIDS 合并肺结核患者行 PET/CT 检查,分析其 PET/CT 表现。结果:4 例 AIDS 合并肺结核患者,PET/CT 发现肺内病灶 26 个;左侧主支气管内病灶 1 例;纵隔淋巴结 15 枚;胸骨、锁骨病灶 3 例;胸壁及肋骨旁软组织病灶 4 例;1 例胸腔积液及胸膜增厚。结论:AIDS 合并肺结核病变类型复杂多样,影像表现呈多元化,PET/CT 功能显像不仅可以对 AIDS 合并肺结核进行定性诊断,而且还可以进一步判断肺结核的活动性,对临床 HIV 阳性患者的治疗方案具有重要的参考价值。

【关键词】 获得性免疫缺陷综合征;结核,肺;正电子发射断层扫描;体层摄影术,X线计算机;脱氧葡萄糖 【中图分类号】R445;R814.42;R593;R563 【文献标识码】A 【文章编号】1000-0313(2011)10-1043-03

The PET/CT features of AIDS associated thoracic tuberculosis LI Li, LI Hong-jun. Department of Radiology, Beijing You'an Hospital Affiliated of Capital Medical University, Beijing 100069, P. R. China

[Abstract] Objective: To study the PET/CT features of AIDS associated thoracic tuberculosis. Methods: The PET/CT findings of 4 patients with AIDS associated thoracic tuberculosis were analyzed. Results: Of the 4 cases with AIDS associated thoracic tuberculosis, there were 26 thoracic lesions including intra-bronchial lesion within the left main bronchus (n=1); mediastinal lymphadenopathy (n=15); sternum and clavicle lesions (n=3); thoracic wall and soft tissue lesions adjacent to rib (n=4); pleural effusion and pleural thickening (n=1). Conclusion: AIDS associated thoracic tuberculosis have various kinds of lesions, showing diverse imaging features. PET/CT functional images can provide not only qualitative diagnosis of tuberculosis, but also further determination of the activity of tuberculosis lesion, thereby having important reference for the clinical treatment.

[Key words] Acquired immunodeficiency syndrome; Tuberculosis, pulmonary; Tomography, X-ray computed; Deoxyglucose

由于 AIDS 患者的免疫功能遭到严重抑制或破坏,导致肺结核影像表现呈多元化,缺乏特异性[1]。本研究在国内首次利用 PET/CT 对 4 例 AIDS 临床拟诊肺结核患者进行肺部检查,旨在早期发现病变并进行定性诊断,早期临床干预。

材料与方法

搜集经中国疾病预防控制中心确诊的 AIDS 患者 4 例,其中男 3 例,女 1 例,年龄 28~59 岁,平均 47.75 岁。临床症状为发热 3 例,咳嗽 3 例,乏力、消瘦、咳痰各 2 例。CD 4T 淋巴细胞计数 38~357 个/μl。感染途径不详。本组患者结核菌素试验均为阴性,3 例患者痰菌培养结核分枝杆菌阳性,1 例经抗结核治疗有效而证实肺结核。

采用 Siemens Biograph Sensation16 PET/CT 扫描仪,示踪剂为 18 F-FDG,放化纯度>95%。4 例患者于检查前禁食 6 h 以上,静脉注射前常规测量空腹血糖浓度(血糖浓度控制在 7.0 mmol/l 以内)。安静、避光、平卧 15 min 后注射示踪剂,注射剂量为 3.70~5.55 MBq/kg。注射后静卧 40~60 min 后行 PET/CT

作者单位:100069 北京,首都医科大学附属北京佑安医院放射科作者简介:李莉(1974一),女,黑龙江大兴安岭人,硕士,主治医师,主要从事胸腹部影像诊断工作。

通讯作者:李宏军,E-mail:Lihongjun00113@126.com

检查。依次采集 CT 和 PET 图像。扫描视野包括锁骨区、腋窝、双肺野。CT 扫描参数:电压 120 kV,电流 140 mAs,准直 5.0,层厚 0.75 mm,0.5 ms/转,螺距 1.25,扫描时间 $20 \sim 30 \text{ s}$ 。在同一范围用三维模式采集 PET 图像,一般 $6 \sim 7$ 个床位,每床位采集 $2 \sim 3 \text{ min}$ 。机器自动利用 CT 数据对 PET 图像进行衰减校正,采用迭代法(OSEM)自动进行图像重建,进行PET 和 CT 图像融合,分别获得横断面、冠状面及矢状断面的 PET、CT 及 PET/CT 图像。

图像由两名以上具有核医学及 CT 阅片经验的医生共同阅片,规范记录 CT 及 PET 所见信息。CT 记录病变部位、形态、大小、CT 值、病变周围情况、肺内基础病变情况、纵隔淋巴结是否肿大、有无钙化等。PET 记录病变部位、有无放射性增高或浓聚及形态、选择病灶放射性浓聚程度最高的层面,勾画感兴趣区(ROI),自动测量最大标准摄取值(SUVmax)。PET诊断以肺内异常高摄取灶 SUV≥2.5 作为 PET 的诊断阈值,最后结合临床资料、CT、PET、PET/CT表现,做出肺内病变良恶性倾向诊断。

结 果

4 例患者 CT 显示肺内 26 个病灶,其中结节影 16 个,斑片影 4 个,空洞及纤维条索影各 3 个(图 1);

讨论

SUV 是 PET 检查中最常用的半定量分析指标,可反映局部组织代谢情况,通常以 SUVmax≥2.5 作为诊断与鉴别组织良、恶性的一项相对客观指标。然而,¹⁸F-FDG 为非特异性肿瘤示踪剂,在一些良性病变如活动性炎症、结核等也显示¹⁸F-FDG 摄取,因此,本研究利用 PET 显像这一特性,对 AIDS 合并肺结核患者的影像学表现加以分析。

AIDS 并发肺结核时,由于 HIV 感染 CD 4T 淋巴细胞,导致 CD4T 淋巴细胞耗减,继而导致巨噬细胞等细胞功能低下,难以限制病灶的扩散,因此病灶无明显的好发部位,多累及 2 个或 2 个以上肺段。本研究与文献报道相符,4 例患者均可见双肺多发结节及斑片影,其中 6 个病灶¹⁸ F-FDG PET 显像阴性,为陈旧性肺结核病灶。12 个病灶 PET 显像阳性,病灶内可见¹⁸ F-FDG 浓聚。¹⁸ F-FDG 显像阳性的结核多为活动期病变^[2],其病灶多是增殖性病变或以增殖性病变为主的结核结节,含有大量类上皮细胞、郎罕巨细胞和淋巴细胞等,这些炎细胞代谢旺盛,¹⁸ F-FDG 摄取增高,SUVmax 甚至大于 10^[3]。本组病例最高 SUVmax 为9.42。此外,双时相¹⁸ F-FDG PET 显像对肺结核球进

行研究发现:

 $\Delta SUVmax = (SUVmaxD - SUVmaxE) \times 100\%$

在活动性结核球中高于非活动性结核球,并且有统计学意义^[4]。因此,也可以用双时相¹⁸ F-FDG PET 显像判定肺结核的活动性,为临床治疗提供依据。

双时相¹⁸ F-FDG PET 显像时,肺结核 SUVmax 延迟较 SUVmax 常规明显升高,其增加的幅度可类似恶性病变,随时间延长而增加。赵军等^[5]报道 3 例肺结核延迟显像 SUV 较早期显像增高达 5.6%~76.4%,与恶性肿瘤鉴别困难。因此,对于不典型病灶的诊断,必须结合同机 CT 或 HRCT 表现,如卫星灶、周围磨玻璃样改变等综合判定。必要时还可联合应用¹¹ C-Choline 或¹⁸ F-FLT 进行联合显像。Toshihiko等^[6]报道当肺结节大小>1.5 cm 时,肺癌¹⁸ F-FDG及¹¹ C-Choline 的 SUV 均高,肺结核¹⁸ F-FDG 的 SUV高而¹¹ C-Choline 的 SUV 齿高,肺结核¹⁸ F-FLT 是胸腺嘧啶核苷的衍生物,能够反映肿瘤增殖特性,虽然在恶性肺结节的摄取略低于¹⁸ F-FDG,但在炎症组织中无浓聚,特异性相对高,因此¹⁸ F-FDG 联合¹⁸ F-FLT 应用可以提高肺结节良恶性鉴别的准确率^[7-9]。

由于 AIDS 并发肺结核时患者免疫力极度低下,对结核杆菌无法局限,因此感染可进一步波及淋巴结、肺门、纵隔,故 AIDS 并发肺结核时多伴有肺门、纵隔淋巴结结核。 根据淋巴结内有无¹⁸ F-FDG 高摄取,PET 在淋巴结检出方面灵敏度高于 CT,其原因一方面是 PET 有助于检出结构复杂部位的淋巴结,如双锁骨上窝、肺门、后纵隔及膈肌周围淋巴结;另一方面是 PET能检出直径<1.0cm的小淋巴结。本研究中

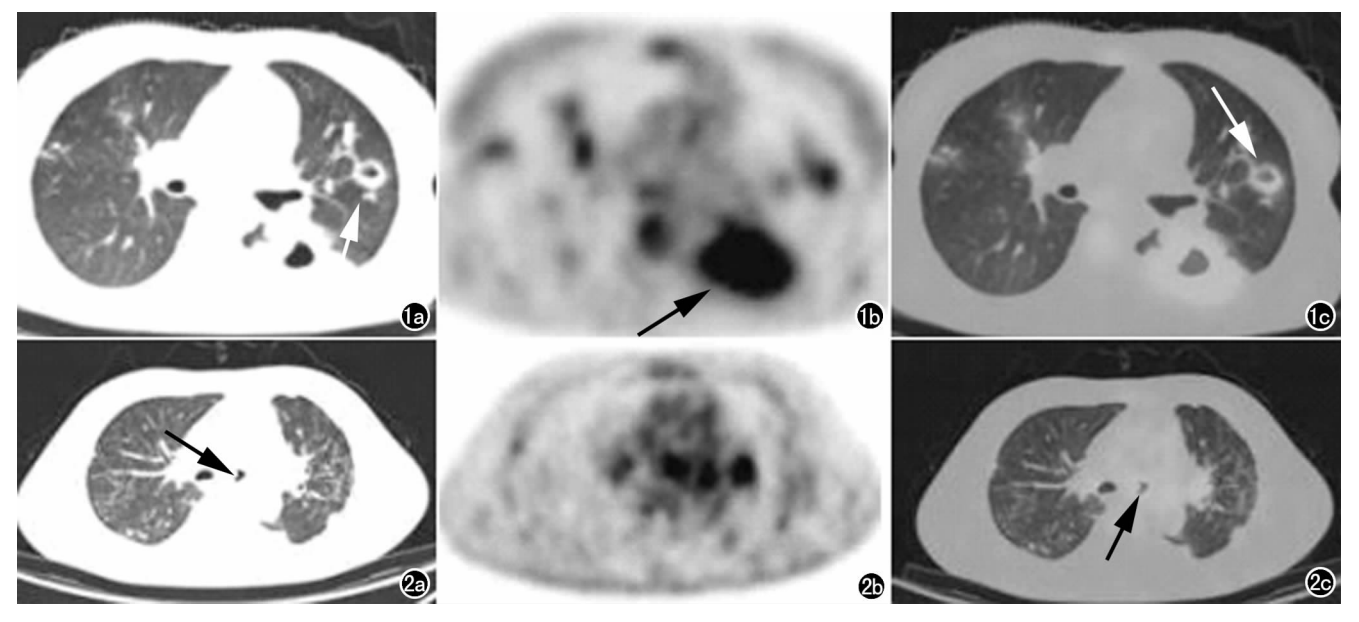


图 1 a) CT 图像示左肺两个厚壁空洞(箭); b) PET 图像于相应部位见¹⁸ F-FDG 高摄取,较大空洞 SUVmax 约 9.42(箭); c) PET 图像与 CT 图像融合,病灶匹配良好(箭)。 图 2 a) CT 图像示左侧主支气管形态不规则,管腔变窄,局部可见软组织影(箭); b) PET 图像未见异常改变; c) PET/CT 图像示左侧主支气管内结节状放射性摄取增高灶,SUVmax 约 4.44(箭)。

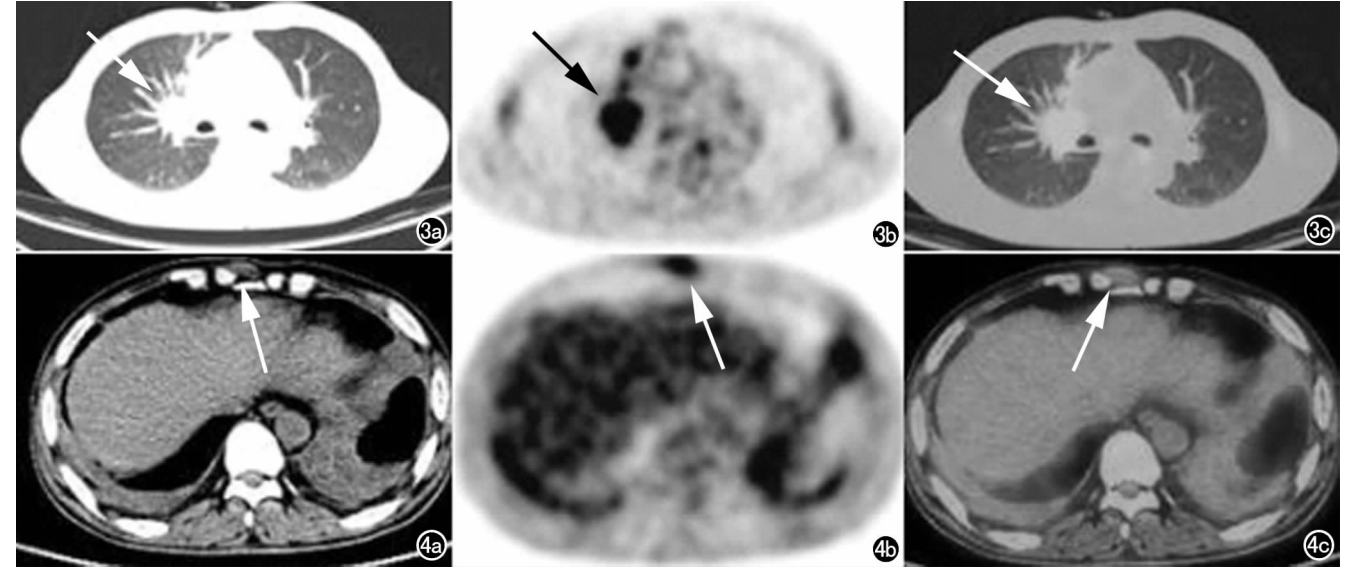


图 3 a) CT 图像示右肺门、右肺上叶纵隔旁多发大小不等的片状、结节样影(箭); b) PET 图像于相应部位见 18 F-FDG 高摄取,SUVmax约 10.37(箭); c) PET 图像与 CT 图像融合,病灶匹配良好(箭)。 图 4 a) CT 图像示胸骨剑突周围肿胀软组织影(箭),右侧胸腔积液,胸膜增厚,左肺实变; b) PET 图像于相应部位见 18 F-FDG 高摄取(箭); c) PET 图像与 CT 图像融合,病灶匹配良好(箭)。

PET 检出纵隔、肺门及锁骨上窝处淋巴结共 15 枚,其最高 SUVmax 为 10.66。由于¹⁸F-FDG 敏感性高而肿瘤特异性差的特点,肺门、纵隔淋巴结结核的¹⁸F-FDG 高摄取有时与淋巴结转灶或淋巴瘤移较难鉴别,但可以通过对摄取阳性的淋巴结进行同机 CT 密度分析来降低 PET 的假阳性。Shim 等通过影像学与组织学的对照研究发现,PET 阳性而同机 CT 有钙化或密度高于纵隔大血管的淋巴结绝大多数为良性。

AIDS 并发肺结核时易继发胸膜结核及胸腔积液,当结核性胸膜炎表现为胸膜结节影、块影或肺内胸膜病变侵及胸壁时,与胸膜间皮瘤诊断较为困难,CT也难以诊断胸腔积液的良、恶性。有研究认为[10] PET/CT显像鉴别恶性胸膜疾病的灵敏度、特异度、阳性预测值、阴性预测值、准确度分别为95%、80%、91%、89%、90%。一般认为无论CT上是否存在胸膜异常,PET上胸膜FDG的异常摄取是鉴别良、恶性胸腔积液最精确的标准。

本组 1 例患者肺内病灶未见¹⁸ F-FDG 摄取,但并发双肺门、纵隔淋巴结结核,表现为¹⁸ F-FDG 高摄取。1 例肺内多发结节,但只有部分病灶表现为¹⁸ F-FDG 高摄取,其最高 SUVmax 为 2. 88,同时合并右侧锁骨上窝及纵隔¹⁸ F-FDG 淋巴结高摄取。1 例同时伴有支气管内膜结核。此外,PET 还检测到胸壁、肋骨旁软组织病灶共 4 例,并予以定性。由此可见,AIDS 并发肺结核病变类型复杂多样,病变范围广泛,可累及多个系统或器官,仅凭借形态学表现难以对病变进行定性,PET/CT 显像同时显示形态学特征、解剖定位及病灶的代谢状态,因而对上述病变的诊断具有重要的价值。

参考文献:

- [1] 宋文艳,李宏军. 艾滋病合并肺结核的多元化影像学表现[J]. 医学影像学杂志,2009,19(6):676-678.
- [2] Goo JM, IM JG, Do KH, et al. Pulmonary tuberculoma evaluated by means of FDG PET: findings in 10 cases[J]. Radiology, 2000, 216(1):117-121.
- [3] Hara T,Kosaka N,Suzuki T,et al. Uptake rates of ¹⁸F-fluorode-oxyglucose and ¹¹C-choline in lung cancer and pulmonary tuberculosis: a positron emission tomography study[J]. Chest, 2003, 124 (3):893-901.
- [4] Kim IJ, Lee JS, Kim SJ, et al. Double-phase ¹⁸F-FDG PET-CT for determination of pulmonary tuberculoma activity[J]. Eur J Nucl Med Mol Imaging, 2008, 35(4), 808-814.
- [5] 赵军,林祥通,管一晖,等. 结核病¹⁸ F-FDG PET 图像表现的多样性[J]. 中华核医学杂志,2003,23(增):37-39.
- [6] Toshihiko H, Noboru K, Tsuneo S, et al. Uptake rates of ¹⁸F-FDG and ¹¹C-choline in lung cancer and pulmonary tuberculosis [J]. Chest, 2003, 124 (3):893-901.
- [7] Buck AK, Halter G, Schirrmeisler H, et al. Imaging proliferation in lung tumors with PET; ¹⁸ F-FLT versus ¹⁸ F-FDG[J]. J Nucl Med, 2003, 44 (9):1426-1431.
- [8] 马黎明,田嘉禾,杨小丰,等.¹⁸F-FDG 和¹⁸F-FLT PET/CT 诊断 肺结节影响因素的多中心临床研究[J].中国医学影像学杂志, 2009,17(1):19-21.
- [9] 谭业颖,田嘉禾,张锦明,等. ¹⁸ F-FLT PET 显像诊断肺单发结节 及评价细胞增殖的价值[J]. 中华核医学杂志,2007,27(2):65-70.
- [10] Toaff JS, Metser U, Goqfried M, et al. Differentiation between malignant and benign pleural effusion in patients with extra pleural primary malignancies—assessment with positron emission tomography—computed tomography [J]. Invest Radiol, 2005, 40 (4):204-209.

(收稿日期:2011-09-02 修回日期:2011-09-23)